

(577) CO<sub>2</sub>/H<sub>2</sub>S環境における13Crステンレス鋼の耐食性

川崎製鉄(株)技術研究所○倉橋速生、曾根雄二  
増尾誠、大坪宏

1 緒言： CO<sub>2</sub>を含む比較的低温(60°C以下)の湿潤環境(スヴィート)下において、低合金鋼はリングワーム腐食などの形態を伴なった激しい腐食を起こすが、13Crステンレス鋼(以下13Cr鋼)はきわめて良好な耐食性を示す<sup>1)</sup>。しかしながら現実の油井、ガス井などにおいては純粋なスヴィート環境はむしろ少なく、多少のH<sub>2</sub>Sを含み、温度も高い場合が多い。そこで、このような環境下における13Cr鋼の耐食性と耐応力腐食割れ性(耐SCC性)を調べ、油井用鋼管素材としての適用性を検討した。

2 実験方法： Table 1に供試鋼の化学成分を示す。AはSUS420J1、BはCA6NMで、いずれも実験室溶製鋼の熱延板を使用した。Cは比較材として用いた油井管用炭素鋼(現場材)である。

供試材はすべてAPI規格L80の強度レベルに焼入れ焼戻したのち実験に供した。試験片として、5<sup>t</sup>×25<sup>W</sup>×50<sup>L</sup>の腐食試験片、3<sup>t</sup>×20<sup>W</sup>×115<sup>L</sup>(曲げ半径:14R)のU曲げ試験片、平行部2.5<sup>φ</sup>の定荷重SCC試験片(NACEサブサイズ)を用いた。

試験液は3.5%食塩水を用い、常温常圧の場合には混合ガス(CO<sub>2</sub>+H<sub>2</sub>S+N<sub>2</sub>)をバブリングし、高温高圧の場合にはオートクレーブ内(攪拌なし)で試験を行った。

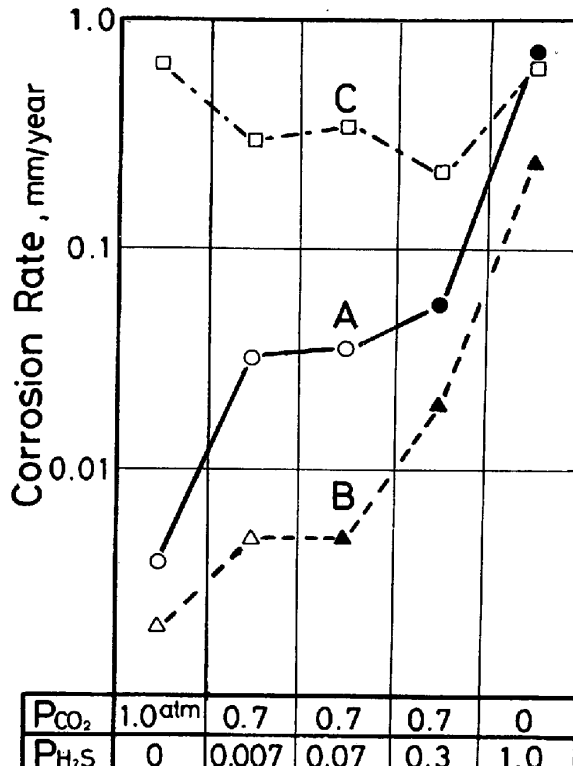
3 実験結果： Fig.1に常温のCO<sub>2</sub>腐食におよぼすH<sub>2</sub>Sの影響を示す。P<sub>H<sub>2</sub>S</sub>≤0.3気圧における13Cr鋼の耐食性は炭素鋼に比しきわめて良好であり、B鋼(極低C-Ni-Mo系)は特にすぐれている。またこの範囲のH<sub>2</sub>Sは13Cr鋼の腐食速度をわずかに増加させるのに対し、炭素鋼のそれを抑制する効果が認められた。P<sub>H<sub>2</sub>S</sub>=1気圧、NACE条件では13Cr鋼の耐食性は著しく劣化し、炭素鋼のそれと同等になる。なお、いずれの条件でもすべての試験片は全面腐食を呈し、孔食はほとんど見られなかつた。一方、13Cr鋼の耐SCC性は微量のH<sub>2</sub>Sの影響を受け、耐食性にすぐれているB鋼がよりその影響を強く受けることがFig.1より明らかであるが、定荷重SCC試験(NACE条件)でも同様の結果が得られた。これらの割れの伝播経路は粒界、粒内いずれも認められた。

CO<sub>2</sub>腐食におよぼす温度の影響は、13Cr鋼の場合、150°Cまでは温度の上昇とともに腐食速度は増すが、それ以上ではほぼ一定となる。一方、炭素鋼は100°C以上で、温度の上昇とともに腐食速度は減少し、200°Cでは13Cr鋼のそれとほぼ等しくなることが判明した。

参考文献：(1)本庄、栗栖、久野： 鉄と鋼66(1980), S1293

Table 1 Chemical composition of steels(wt%)

	C	Si	Mn	Cr	Ni	Mo	N
A	0.19	0.49	0.53	13.1	—	—	0.013
B	0.003	0.59	0.51	13.2	4.0	1.05	0.040
C	0.25	0.25	1.40	—	—	—	0.0028

Fig.1 Effect of H<sub>2</sub>S Partial Pressure on CO<sub>2</sub> Corrosion and SCC by using U bend Specimen.

Open mark : no Cracking  
Closed mark : Cracking